

DOI: 10.3724/SP.J.1006.2020.02002

基因组测序技术解析耐除草剂转基因水稻 G2-7 的分子特征

马 硕^{1,**} 焦 悅^{2,**} 杨江涛¹ 王旭静^{1,*} 王志兴^{1,*}

¹ 中国农业科学院生物技术研究所 / 农业农村部农业转基因生物安全评价(分子)重点实验室, 北京 100081; ² 农业农村部科技发展中心, 北京 100122

摘要: 外源 DNA 片段的拷贝数及插入位点的侧翼序列等分子特征信息是转基因植物安全评价过程中必需要提供的信息。本研究利用基因组测序结合生物信息学对耐除草剂转基因水稻 G2-7 的 T-DNA 插入位点、拷贝数和侧翼序列进行鉴定。利用 Illumina NovaSeq 6000 平台对 G2-7 进行全基因组测序, 共获得 47.13 Gb 的测序数据, 通过与转基因载体和参考基因组序列的比较, 确定了 G2-7 中 T-DNA 在受体基因组中的插入位点。结果显示, 外源 DNA 片段以单位点单拷贝形式插入到水稻 1 号染色体的 36,189,491~36,189,507 位置, 造成水稻基因组 16 bp DNA 缺失, 无载体骨架的插入。同时我们获得外源基因插入位点 5'侧翼序列 375 bp 和 3'端侧翼序列 353 bp, 并通过 PCR 扩增和 Sanger 测序进一步证明获得的侧翼序列是正确的。研究结果为转基因水稻 G2-7 的安全评价及转化体特异性检测提供了有效的数据支撑, 同时也证明全基因组测序(WGS)是解析转基因植物分子特征的有效方法。

关键词: 基因组测序; 转基因水稻; 分子特征; 拷贝数; 侧翼序列

Molecular characterization identification by genome sequencing of transgenic glyphosate-tolerant rice G2-7

MA Shuo^{1,**}, JIAO Yue^{2,**}, YANG Jiang-Tao¹, WANG Xu-Jing^{1,*}, and WANG Zhi-Xing^{1,*}

¹ Biotechnology Research Institute, Chinese Academy of Agricultural Sciences / MARA Key Laboratory on Safety Assessment Molecular of Agri-GMO, Beijing 100081, China; ² Development Center for Science and Technology / MARA, Beijing 100122, China

Abstract: Molecular characterization, such as copy number and flanking sequence of foreign DNA fragment insertion site, is the important identity information, provided during safety assessment of genetic modified crop. In this study, the T-DNA insertion site, copy number and flanking sequences were identified in transgenic glyphosate-tolerant rice G2-7 based on whole genome sequencing in combination bioinformatics analysis method. 47.13 Gb clean sequence data for G2-7 was generated on Illumina NovaSeq 6000 platform. The junction reads mapped to boundaries of T-DNA and flanking sequences in G2-7 were identified by comparing with sequence of transformation vector and rice reference genome. The results showed that exogenous T-DNA fragments was integrated in the position of Chr. 1 36,189,491–36,189,507 with a single copy, 16 bp rice genome sequence was deleted at the insertion site and no insertion of vector backbone. 375 bp and 353 bp flanking host DNA sequence of 5'-end and 3'-end of the insertion DNA fragment were also obtained, respectively. The putative insertion location and flanking sequences were further confirmed by PCR amplification and Sanger sequencing. The results not only provided data support for safety assessment and event specific detection, but also demonstrated that WGS was an effective technique for identifying molecular characterization in rice.

Keywords: genome sequencing; transgenic rice; molecular characterization; copy number; flanking sequence

分子特征是转基因植物的身份象征, 是转基因植物安全评价的基础, 也是转基因植物检测监测的先决条件和主要依据。在我国转基因植物安全评价中, 自环境释放阶段开始, 研发者需要提供外源

本研究由国家转基因新品种培育重大专项(2016ZX08010-003)资助。

This study was supported by the National Major Project for Developing New GM Crops (2016ZX08010-003).

* 通信作者(Corresponding authors): 王志兴, E-mail: wangcotton@126.com; 王旭静, E-mail: wangxujing@caas.cn

** 同等贡献(Contributed equally to this work)

第一作者联系方式: 马硕, E-mail: mashuo0801@163.com; 焦悦, E-mail: jiaoyue@agri.gov.cn

Received (收稿日期): 2020-01-14; Accepted (接受日期): 2020-06-02; Published online (网络出版日期): 2020-06-22.

URL: <https://kns.cnki.net/kcms/detail/11.1809.S.20200622.1349.012.html>

DNA 片段在受体基因组中的拷贝数、整合位点、插入位点处的侧翼序列等方面分子特征信息。

分析转基因植物分子特征的传统方法有多种, 其中分析基因拷贝数的常用方法有 Southern 杂交、荧光定量 PCR 和数字 PCR 等^[1-3], 分析外源基因的整合位点和侧翼序列的常用方法为基于 PCR 的染色体步移技术, 包括 TAIL-PCR^[4-5]、反向 PCR^[6-7]、RSE PCR (restriction site extension PCR)^[8]和接头介导的 PCR (adapter ligated PCR)^[9]等。这些方法虽然已在实践中得以验证和应用^[10-14], 但每种方法都有其自身的优缺点和局限性, 有时很难获得理想结果。

近年来, 随着高通量测序技术的发展, 全基因组测序已成为解析转基因植物分子特征的一种新方法, 并建立起 SBS (southern by sequence)、T-DNA 捕获测序和全基因组测序等不同的分析转基因植物分子特征的技术体系^[15-17], 用于解析转基因拟南芥^[16,18]、玉米^[19]、水稻^[20-22]和大豆^[23]中外源 DNA 片段在受体基因组中的整合情况及拷贝数分析, 且用此方法发现在转基因水稻^[24]和玉米^[25]中存在非预期插入。

G2-7 为转 *G2-aroA* 基因的耐草甘膦水稻, 是通过农杆菌介导法将 *G2-aroA* 基因导入粳稻品种中花 11 (ZH11) 获得的独立转化事件, 具有很好的耐受草甘膦的能力^[26]。目前 G2-7 已申请了中间试验, 通过 Southern 杂交证明外源基因在受体基因组中为单拷贝插入, 但通过 TAIL-PCR、反向 PCR 等方法未能获得外源 DNA 片段插入位点处的侧翼序列^[27]。因此, 本研究利用全基因组测序技术结合生物信息学分析, 解析外源 DNA 片段在受体基因组中的插入位点及其侧翼序列, 明确转基因水稻 G2-7 的分子特征, 为其后期的安全评价提供数据支撑。

1 材料与方法

1.1 植物材料

所用植物材料为耐草甘膦转基因水稻 G2-7 及其受体中花 11。G2-7 是通过农杆菌介导法将耐草甘膦基因 *G2-aroA* 导入中花 11 而获得, 转化时所用植物表达载体为 p13UG2^[26]。p13UG2 质粒 DNA 序列作为后期测序数据的参考序列。

1.2 试验方法

1.2.1 DNA 提取及全基因组测序 利用基因组提取试剂盒(北京博迈德基因技术有限公司)提取水稻叶片基因组 DNA, 琼脂糖凝聚电泳对提取的基因

组 DNA 进行质量检测。用 Covaris 破碎仪将基因组 DNA 处理成 350 bp 左右的 DNA 片段, 利用 NEB Next Ultra DNA Library Prep 试剂盒进行建库, 并用 NGS3K/Caliper 对文库的 DNA 片段大小进行检测, 用 qPCR 方法对文库的有效浓度(3×10^{-9} mol L⁻¹) 进行准确定量。本研究共构建了 G2-7、中花 11 (ZH11) 和中花 11+1 拷贝质粒 DNA (ZH11-p) 3 个基因组文库。构建好的文库采用 PE150 双末端测序法在 Illuminaria NovaSeq 6000 平台进行测序, 测序深度为 70 \times 。

1.2.2 测序数据质量控制及比对 分析测序原始数据碱基错误率, 并对测序原始数据(raw reads)进行过滤(去除带接头、单端测序 read 中 N 的比例大于 10%、以及单端测序 read 中含有的低质量碱基数超过其长度比例 50% 的 reads)处理获得 clean reads。

利用 BWA-0.7.17 软件, 经 MEM 算法将 Clean reads 与质粒 DNA 序列进行比对。比对分析后, 将 clean reads 分成 3 组, 即完全与参考基因组序列匹配的 reads, 完全与质粒 DNA 序列匹配的 reads, 结合区(部分与质粒 DNA 序列匹配, 部分与基因组序列匹配)序列的 reads。匹配到质粒 DNA 和结合区的 reads 将用于后期外源基因拷贝数、整合位点及侧翼序列分析。

1.2.3 外源基因拷贝数、整合位点及侧翼序列分析

将匹配到质粒 DNA 和结合区的 reads 通过 IGV-2.5.0 (integrative genomic viewer) 进行可视化分析, 通过分析结合位点的数量来确定外源 DNA 插入的拷贝数, 通过与质粒 DNA 比对分析是否有载体骨架插入, 其中 ZH11+p 和 ZH11 测序数据分别作为阳性对照和阴性对照。

接合区 reads 物理位置指示了 T-DNA 在受体基因组上的整合位点。编写 Python 脚本对接合区序列进行提取, 使用 SOAPdenovo 进行侧翼序列拼接, 拼接完后与转化载体 p13UG2 序列和日本晴 (*O. sativa* L. spp. *japonica*, var. *nipponbare*) 参考基因组进行分别比对, 获得外源基因在受体基因组中整合位点及侧翼序列。

1.2.4 转基因水稻 G2-7 分子特征验证 根据基因组测序获得的 T-DNA 5' 端和 3' 端侧翼序列设计引物 5F (5'-GGTGGCTGGCGATGTGC-3') 和 3F (5'-ACTTCAAACAAGTGTGACAA-3'), 根据 T-DNA LB 端和 RB 端序列设计引物 5R (5'-GTACTCGCCG ATAGTGGAAACCG-3') 和 3R (5'-CATTGTCAAATC

ATAGAGCAATT-3')。以 G2-7 叶片 DNA 为模板, 分别以 5F/5R 和 3F/3R 为引物对进行 PCR 扩增。PCR 反应程序: 为 95 预变性 8 min; 95 30 s, 54 30 s, 72 1 min, 35 个循环; 72 延伸 5 min。PCR 扩增得到的 DNA 片段进行 Sanger 测序, 并与全基因组测序获得的侧翼序列进行比对分析。

2 结果与分析

2.1 全基因组测序数据分析

Illumina NovaSeq 6000 高通量测序得到的原始

图像数据文件经 CASAVA 碱基识别(base calling)分析转化为原始测序序列(raw bases)。对获得的原始测序数据进行质量控制, 过滤掉带接头(adapter)的读序、单端测序读序中 N 数量超过此读序长度比例 10% 的读序、及单端测序读序中含有的低质量(Q 5)碱基数超过该条读序长度比例 50% 的等低质量读序, 获得 Clean Bases 和 Clean Reads。本研究获得样品的原始测序量为 41.16~47.13 G, 有效读序为 274,371,776~314,171,200, Q30 大于 90%, 说明获得的测序数据丰富可靠(表 1)。

表 1 高通量测序数据质量控制统计

Table 1 High throughput sequencing data quality control statistics

样品名称 Sample	原始数据量 Raw bases	原始读序量 Raw reads	有效数据量 Clean bases	有效读序量 Clean reads	Q20 (%)	Q30 (%)	GC 含量 GC content (%)
ZH11	41,196,003,900	274,646,422	41,155,766,400	274,371,776	96.22	90.36	43.04
ZH11-p	41,266,820,400	275,112,136	41,228,215,500	274,854,770	97.73	93.69	42.93
G2-7	47,246,859,300	314,990,174	47,125,680,000	314,171,200	96.58	91.15	44.27

Q20、Q30 分别代表 Phred 数值大于 20、30 的碱基占总体碱基的百分比, 表示的碱基正确识别率为 99.0% 和 99.9%。

Q20 and Q30 represent the percentage of bases with Phred value more than 20 and 30 in the total base, respectively, indicating that the correct recognition rate of bases is 99.0% and 99.9%.

2.2 外源基因拷贝数分析

利用 BWA-0.7.17 软件将获得 clean reads 与质粒 DNA 序列进行比对, 获得了比对到载体骨架、T-DNA 和结合区的 DNA 读序(表 2)。分析发现, G2-7 中匹配到结合区的读序有 348 条, 其中匹配到 3'端结合区的读序有 156 条, 匹配到 5'端结合区的读序有 192 条, 外源 DNA 片段与受体基因组的结合位点为 2 个(图 1); G2-7 中完全匹配到 T-DNA 区的读序有 6130 条, ZH11-p 中完全匹配到 T-DNA 区的读序有 6130 条, ZH11 中完全匹配到 T-DNA 区的读序

有 10,487 条(图 2)。以上结果说明, 外源 DNA 在受体基因组中为单位点单拷贝插入。

为了明确是否有载体骨架插入, 本研究分析测序数据与载体骨架序列的匹配情况, 发现 G2-7 中匹配到载体骨架的读序有 3 条, 分别定位在载体参考序列的 171~233、4576~4725 和 4586~4735 位置, ZH11-p 中完全匹配到载体骨架区的读序有 35,163 条, ZH11 中匹配到载体骨架上的读序为 0。对载体骨架 4483~5036 位置设计引物对进行 PCR 扩增, 在

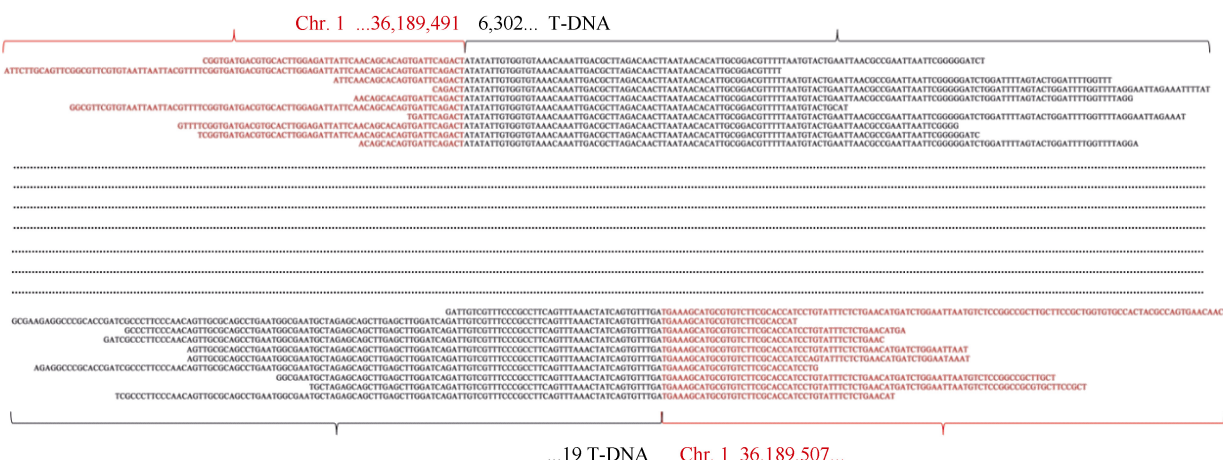


图 1 G2-7 中外源插入片段与受体基因组结合位点分析(部分结合区序列的比对结果)

Fig. 1 Analysis of the binding site between the inserted fragments in G2-7 and the receptor genome (comparison results of some binding region sequences)

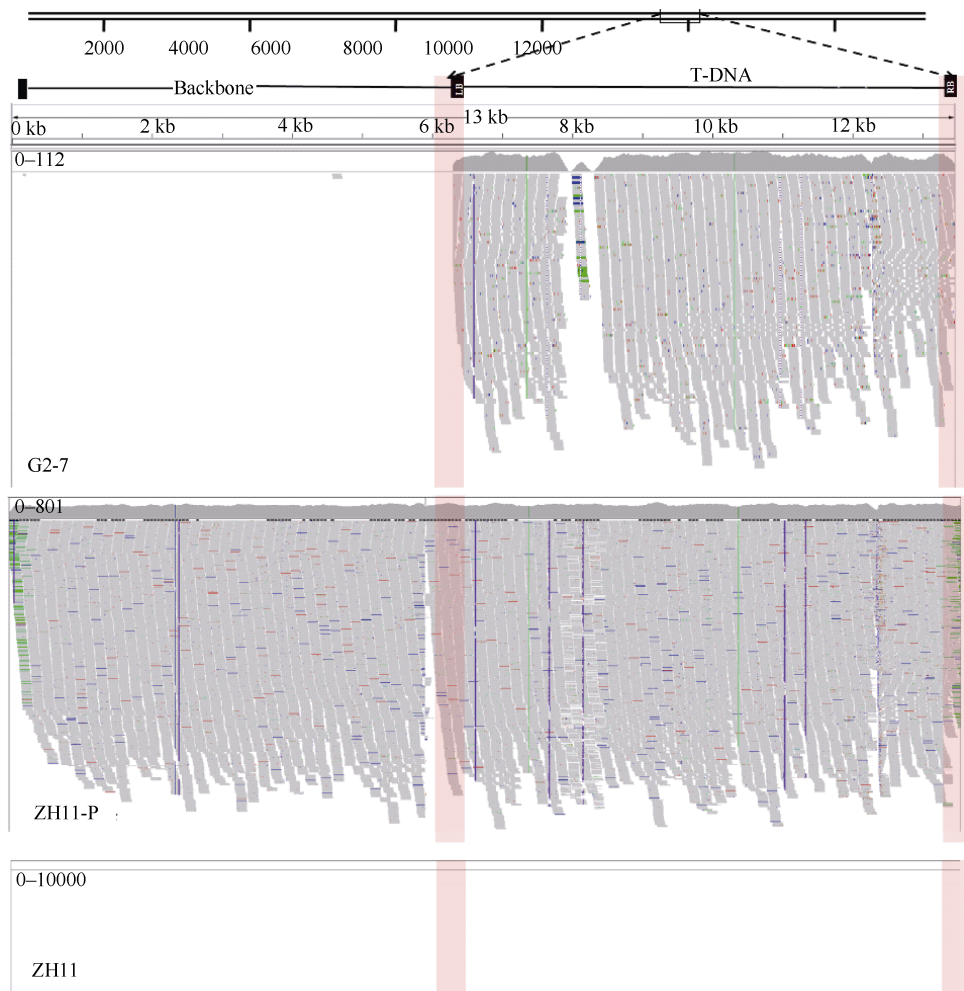


图 2 测序数据与质粒 DNA 比对结果的可视化

Fig. 2 Visualization of sequencing data and plasmid DNA comparison results

G2-7 水稻中未见该段序列存在(图 3)。且 G2-7 与单拷贝对照 ZH11-p 在该区域的测序深度相差非常大,由此认为 G2-7 中无载体骨架的插入, G2-7 中匹配到载体骨架上的读序为污染所致。

2.3 外源基因在受体基因组中的整合位点及侧翼序列分析

将 G2-7 中匹配到结合区序列用 SOAPdenovo 进行拼接,获得了插入位点处 3'端接合区序列 780 bp 和 5'端接合区序列 823 bp。其中,3'端接合区有 353 bp 为水稻基因组序列,有 427 bp 为 T-DNA 序列,T-DNA 序列在 3'端缺失 42 bp;5'端接合区序列有 375 bp 为水稻基因组,有 448 bp 为 T-DNA 序列,T-DNA 序列在 5'端缺失 7 bp。通过与已知的水稻基因组序列进行 Blast 比对分析,确定 T-DNA 插入到受体基因组的 1 号染色体 36,189,491~36,189,507 bp 处,在 T-DNA 与受体基因组整合过程中造成 16 bp 基因组 DNA 缺失(图 4)。

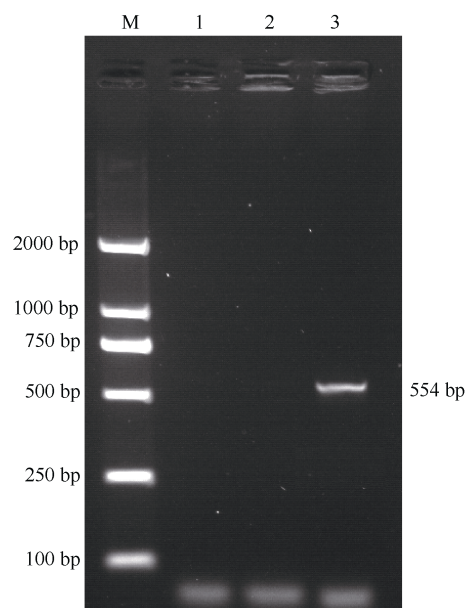


图 3 载体骨架匹配读序的 PCR 验证

Fig. 3 PCR verification of reads aligned to backbone
1: G2-7; 2: ZH11; 3: p13UG2.

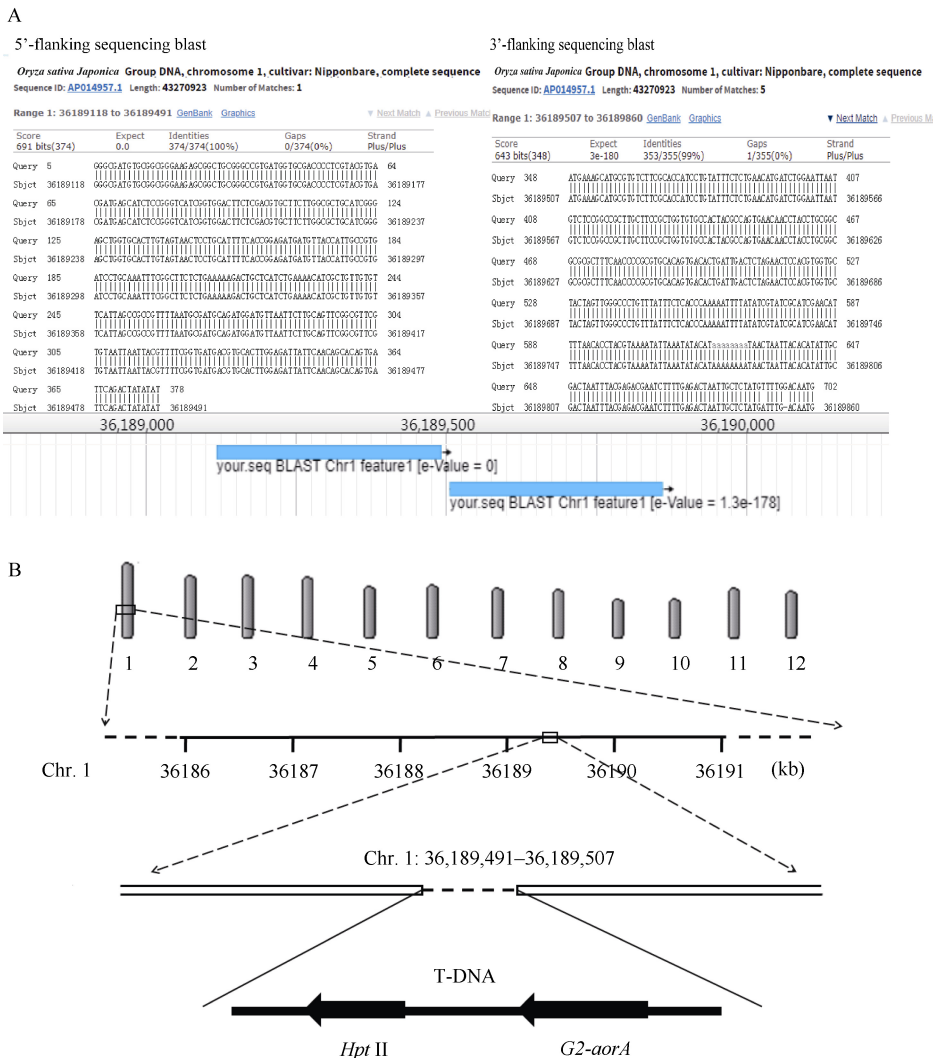


图 4 外源 DNA 片段在受体基因组中的整合位点及侧翼序列分析

Fig. 4 Analysis of integration site and flanking sequence of insert DNA fragment in receptor genome

A: G2-7 转化体侧翼序列和整合位点分析; B: G2-7 转化体插入序列整合情况示意图。

A: analysis of flanking sequence and integration site of G2-7; B: sketch map of insert DNA integration in G2-7.

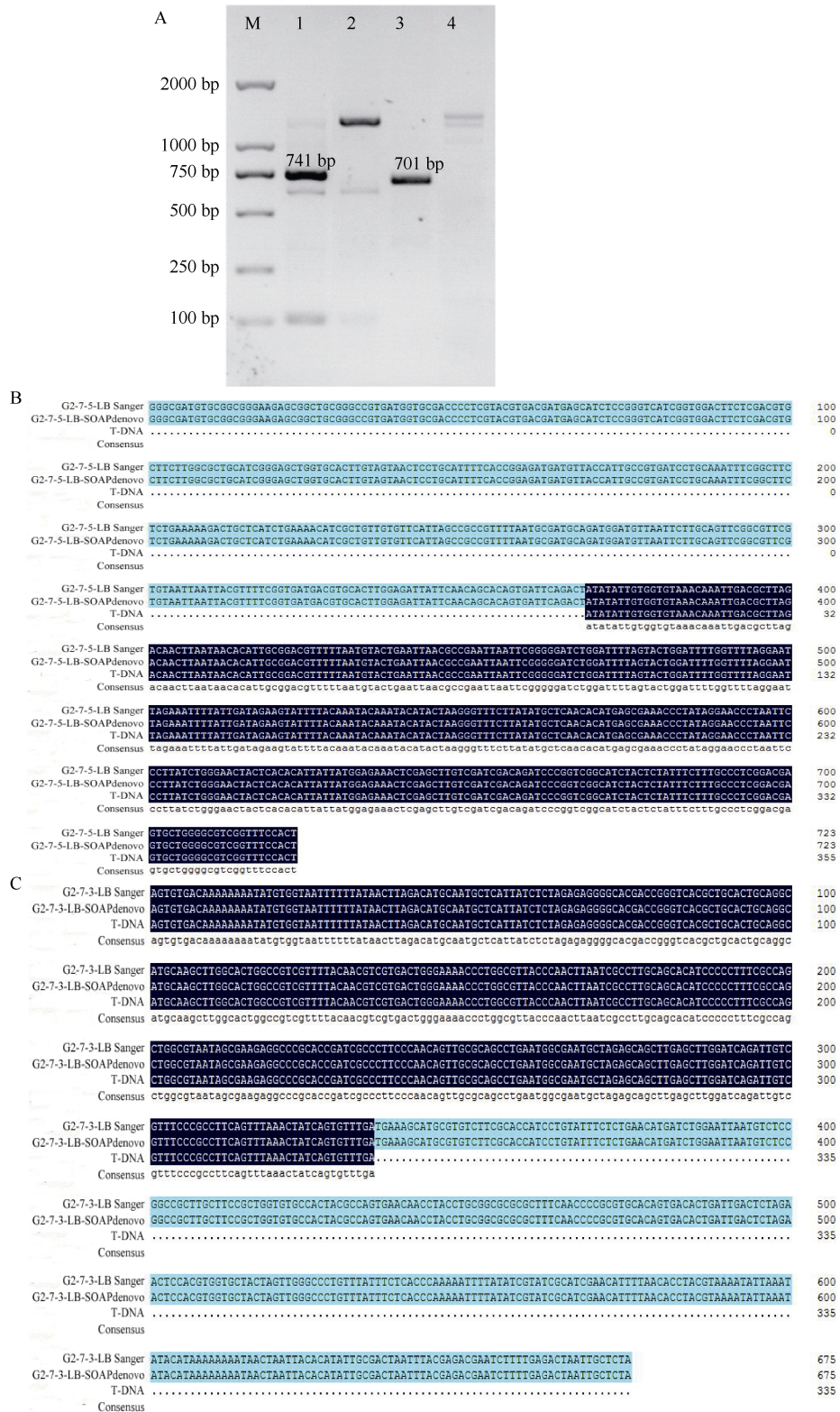
2.4 侧翼序列的 Sanger 测序验证

根据全基因组测序获得的 5' 端侧翼序列和 T-DNA 的 LB 端序列, 3' 端侧翼序列和 T-DNA 的 RB 端序列设计 2 对引物, 以 G2-7 叶片基因组 DNA 为模板进行 PCR 扩增, 结果得到预期目标 DNA 条带, Sanger 测序证明获得的 3' 和 5' 段侧翼序列与全基因组测序获得的序列一致(图 5)。

3 讨论

伴随大数据时代的到来, 全基因组测序已成为解析转基因植物分子特征的一种新技术。与传统转基因植物分子特征解析方法(如 Southern 杂交和染色体步移技术等)相比, 全基因组测序不但具有高通

量、标准化程度高、灵敏度高、重复性好和准确度高等特点, 而且能够提供插入的 DNA 序列信息、小片段 DNA 的非预期插入和 DNA 重排等信息, 如 SBS 技术能检测到 50 bp 小片段 DNA 在玉米基因组的插入^[15], 全基因组测序技术能检测到 100 bp 单拷贝 DNA 片段在玉米基因组的插入^[28]。本研究在利用反向 PCR、TAIL-PCR 等方法无法获取到 G2-7 转基因水稻中外源插入序列两端的侧翼序列的情况下, 通过高通量全基因组测序技术结合生物信息学分析, 发现 G2-7 中外源 DNA 片段以单拷贝形式整合到水稻 1 号染色体上, 无载体骨架插入、无 DNA 重排, 并获得了外源 DNA 片段在受体基因组中插入位置的侧翼序列, 从而成功解析 G2-7 的分子特征。

**图 5 PCR 电泳图及序列比对****Fig. 5 Agarose gel electrophoresis and sequence alignment results**

A: 水稻 G2-7 转化体侧翼序列扩增; 1: G2-7-5F/5R; 2: ZH11-5F/5R; 3: G2-7-3F/3R; 4: ZH11-3F/3R。B: G2-7 5'端序列比对验证。C: G2-7 3'端序列比对验证。

A: amplification of rice transformant G2-7 flanking sequence; 1: G2-7-5F/5R; 2: ZH11-5F/5R; 3: G2-7-3F/3R; 4: ZH11-3F/3R. B: G2-7' end sequence comparison and verification. C: G2-7 3' end sequence comparison and verification.

数据分析过程中, 比对到载体骨架序列的读序可能来自于遗传转化过程中造成的载体骨架插入, 或者是受体基因组中同源序列和建库过程中细菌质粒及其他污染所造成的假阳性^[15,29]。建库过程中细菌质粒或其他因素污染所造成的假阳性现象非常普遍, 而且难以完全避免^[17]。判断比对到载体骨架的序列是否为假阳性, 可以通过分析这些读序的测序深度和覆盖度, 及将这些读序与受体基因组序列和已知的污染源进行比对来确定^[2]。在本研究中, 将 G2-7 测序数据与载体序列进行比对, 发现有少量读序比对到载体骨架上, 这些读序的测序深度很低, 将非转基因水稻中花 11 的基因组序列与载体序列进行比对时未发现有读序比对到载体骨架上(图 4), 结合 PCR 验证, 认为比对到载体骨架上的少量读序不是来自于载体骨架真正插入, 而是来源于建库过程中细菌质粒或其他因素污染所造成的假阳性。

在将 G2-7 测序数据与载体序列进行比对过程中, 发现比对到 T-DNA 7800~8400 位置的读序很少, 测序深度比较低, 出现 gap 现象, 推测可能是由于建库过程中此段 DNA 片段缺失或测序因素造成。为了对此进行验证, 本研究根据 T-DNA 的相关序列设计引物, 以 G2-7 叶片 DNA 为模板进行 PCR, 经 sanger 测序后证明实际插入到受体基因组中的片段此区段并未缺失, 因此我们认为利用基因组测序分析外源插入片段的完整性时, 建议高通量测序与 Sanger 测序结合使用, 以保证结果的可靠性。

4 结论

利用高通量基因组测序技术结合生物信息学分析, 明确耐除草剂转基因水稻 G2-7 中外源 DNA 片段以单位点单拷贝的形式插入到水稻基因组 1 号染色体 36,189,491~36,189,507 bp 处, 造成 16 bp 水稻基因组 DNA 缺失, 获得外源插入片段 3'端侧翼序列 353 bp, 5'端侧翼序列 375 bp。本研究结果为 G2-7 商业化过程中的安全评价和转化事件特异性 PCR 检测方法的建立提供了数据支撑。

References

- [1] Southern E M. Detection of specific sequences among DNA fragments separated by gel electrophoresis. *J Mol Biol*, 1975, 98: 503~517.
- [2] Yang L T, Ding J Y, Zhang C M, Jia J W, Weng H B, Liu W X, Zhang D B. Estimating the copy number of transgenes in transformed rice by real-time quantitative PCR. *Plant Cell Rep*, 2005, 23: 759~763.
- [3] 姜羽, 胡佳莹, 杨立桃. 利用微滴数字 PCR 分析转基因生物外源基因拷贝数. *农业生物技术学报*, 2014, 22: 1298~1305.
- [4] Jiang Y, Hu J Y, Yang L T. Estimating the exogenous genes copy number of genetically modified organisms by droplet digital PCR. *J Agric Biotech*, 2014, 22: 1298~1305 (in Chinese with English abstract)
- [5] Liu Y G, Whittier R F. Thermal asymmetric interlaced PCR: automatable amplification and sequencing of insert end fragments from P1 and YAC clones for chromosome walking. *Genomics*, 1995, 25: 674~681.
- [6] Singer T, Burke E. High-throughput TAIL-PCR as a tool to identify DNA flanking insertions. *Method Mol Biol*, 2003, 236: 241~272.
- [7] Yan Y X, An C C, Li L, Gu J Y, Tan G H, Chen Z L. T-linker-specific ligation PCR (T-linker PCR): an advanced PCR technique for chromosome walking or for isolation of tagged DNA ends. *Nucleic Acids Res*, 2003, 31: 1~7.
- [8] Rosenthal A, Jones D S. Genomic walking and sequencing by oligo cassette mediated polymerase chain reaction. *Nucl Acids Res*, 1990, 18: 3095~3096.
- [9] Ji J B, Braam J. Restriction site extension PCR: a novel method for high-throughput characterization of tagged DNA fragments and genome walking. *PLoS One*, 2010, 5: e10577.
- [10] O'Malley R C, Ecker J R. Linking genotype to phenotype using the *Arabidopsis* unimutant collection. *Plant J*, 2010, 61: 928~940.
- [11] Yang L, Xu S, Pan A, Yin C, Zhang K, Wang Z. Event specific qualitative and quantitative polymerase chain reaction detection of genetically modified MON863 maize based on the 50-transgene integration sequence. *J Agric Food Chem*, 2005, 53, 9312~9318.
- [12] Windels P, Taverniers I, Depicker A, Van Bockstaele E, De Loose M. Characterization of the roundup ready soybean insert. *Eur Food Res Technol*, 2011, 213: 107~112.
- [13] Akritidis P, Pasentsis K, Tsaftaris A S, Mylona P V, Polidoros A N. Identification of unknown genetically modified material admixed in conventional cotton seed and development of an event-specific detection method. *Electron J Biotechnol*, 2008, 11: 76~83.
- [14] Wang X B, Jiang L X, Wei L, Liu L, Lu W, Li W X. Integration and insertion site of EPSPS gene on the soybean genome in genetically modified glyphosate-resistant soybean. *Acta Agron Sin*, 2010, 36: 365~375.
- [15] Marie-Alice F, Philippe H, Isabel T, Marc D L, Dieter D, Roosens N H. Current and new approaches in GMO detection: challenges and solutions. *Biomed Res Int*, 2015, 392872.
- [16] Zastrow-Hayes G M, Lin H N, Sigmund A L, Hoffman J L, Alarcon C M, Hayes K R. Southern-by-sequencing: a robust screening approach for molecular characterization of genetically modified crops. *Plant Genome*, 2015, 8: 1~15.
- [17] Inagaki S, Henry I M, Lieberman M C, Comai L. High-throughput analysis of T-DNA location and structure using sequence capture. *PLoS One*, 2015, 10: e0139672.
- [18] Kovalic D, Garnaat C, Guo L, Yan Y P, Groat J, Silvanovich A. The use of next generation sequencing and junction sequence analysis bioinformatics to achieve molecular characterization of crops improved through modern biotechnology. *Plant Genome*, 2012, 5: 3.

- [18] Lepage E, Zampini E, Boyle B, Brisson N. Time and cost-efficient identification of T-DNA insertion sites through targeted genomic sequencing. *PLoS One*, 2013, 8: e70912.
- [19] Rosalind W C, Nicholas S, Susan B, Tiffany K, David B S, Rita A M. Use of Illumina sequencing to identify transposon insertion underlying mutant phenotypes in high-copy Mutator lines of maize. *Plant J*, 2010, 63: 167–177.
- [20] Wahler D, Schäuser L, Bendiek J, Grohmann L. Next-generation sequencing as a tool for detailed molecular characterization of genomic insertions and flanking regions in genetically modified plants: a pilot study using a rice event unauthorized in the EU. *Food Anal Method*, 2013, 6: 1718–1727.
- [21] Park D, Kim D G, Jang G, Lim J S, Shin Y J, Kim J. Efficiency to discovery transgenic loci in GM rice using next generation sequencing whole genome-sequencing. *Genome Inform*, 2015, 13: 81–85.
- [22] Park D, Park S H, Ban Y W, Kim Y S, Park K C, Kim N S. A bio-informatics approach for identifying transgene insertion sites using whole genome sequencing data. *BMC Biotech*, 2017, 17: 67.
- [23] Guo B F, Guo Y, Hong H L, Qiu L J. Identification of genomic insertion and flanking sequence of G2-EPSPS and GAT transgenes in soybean using whole genome sequencing method. *Front Plant Sci*, 2016, 7: 1009.
- [24] Yang L, Wang C, Holst-Jensen A, Morisset D, Lin Y, Zhang D. Characterization of GM events by insert knowledge adapted re-sequencing approaches. *Sci Rep*, 2013, 3: 1–9.
- [25] Siddique K, Wei J, Li R, Zhang D, Shi J. Identification of T-DNA insertion site and flanking sequence of a genetically modified maize event IE09S034 using next-generation sequencing technology. *Mol Biotech*, 2019, 61: 694–702.
- [26] Dong Y, Jin X, Tang Q, Zhang X, Yang J, Liu X, Cai J, Zhang X, Wang X, Wang Z. Development and event-specific detection of transgenic glyphosate-resistant rice expressing the G2-EPSPS gene. *Front Plant Sci*, 2017, 8: 885.
- [27] 董玉凤. 转 *G2-aroA* 基因抗草甘膦水稻的获得及 G2-EPSPS 蛋白拆分重组后的草甘膦抗性分析. 中国农业科学院博士学位论文, 北京, 2016.
Dong Y F. Development of Glyphosate-resistance Rice with *G2-aroA* and the Assessment of Reassembled G2-EPSPS after Splitted. PhD Dissertation of Chinese Academy of Agricultural Sciences, Beijing, China, 2016.
- [28] Cade R, Burgin K, Schilling K, Lee T J, Ngam P, Devitt N, Fajardo D. Evaluation of whole genome sequencing and an insertion site characterization method for molecular characterization of GM maize. *J Reg Sci*, 2018, 6: 1–14.
- [29] Lusk R W. Diverse and widespread contamination evident in the unmapped depths of high throughput sequencing data. *PLoS One*, 2014, 9: e110808.